



УДК 577.113.6 : 578.833.2

© 1994 Т. С. Годовикова, Т. Н. Орлова, Е. Ю. Добрикова,  
В. А. Шаманин, В. Ф. Зарытова, Н. В. Воробьева\*, Н. А. Сердюкова\*,  
М. Ю. Шаманина\*, И. О. Петрусева\*, Н. Д. Пиценко\*\*

### ВЫСОКОЧУВСТВИТЕЛЬНАЯ НЕРАДИОАКТИВНАЯ ДЕТЕКЦИЯ ВИРУСА КЛЕЩЕВОГО ЭНЦЕФАЛИТА

Новосибирский институт биоорганической химии СО РАН;

\* Новосибирский институт цитологии и генетики СО РАН;

\*\* Омский научно-исследовательский институт природно-очаговых инфекций

**Ключевые слова:** обратная дот-гибридизация; вирус клещевого энцефалита; нерадиоактивная детекция; полимеразная цепная реакция; мембранные лавсановые; олигонуклеотиды, иммобилизация.

Для детекции РНК вируса клещевого энцефалита (ВКЭ) в клинических образцах разработан нерадиоактивный метод гибридизационного анализа. Метод включает в себя реакцию обратной транскрипции (ОТ) и полимеразную цепную реакцию (ПЦР) с биотинилированными праймерами, соответствующими консервативной области генома, кодирующими белок E вирусной оболочки.

Показано, что выбранные праймеры с высокой эффективностью и специфичностью инициируют реакции полимеризации с РНК 28 исследованных штаммов ВКЭ.

Для выявления биотинмеченого продукта ПЦР обратной дот-гибридизацией впервые использованы лавсановые мембранны с иммобилизованными олигонуклеотидами, комплементарными амплифицированному фрагменту. Чувствительность разработанного метода с использованием нерадиоактивной детектирующей системы стрептавидин—пероксидаза сопоставима с чувствительностью дот-гибридизационного анализа продукта ПЦР с помощью  $^{32}\text{P}$ -ДНК-зонда на капроне и составляет  $10^3$ — $10^4$  молекул вирусной РНК. Метод апробирован для детекции РНК ВКЭ в индивидуальных клещах и крови людей.

Клещевой энцефалит — тяжелая нейровирусная инфекция, переносимая клещами. Рост заболеваемости КЭ в регионах Сибири и Дальнего Востока диктует острую необходимость разработки экспресс-методов для индикации вируса клещевого энцефалита.

Принятые сокращения: КЭ — клещевой энцефалит, ВКЭ — вирус клещевого энцефалита, ОТ — обратная транскрипция, ПЦР — полимеразная цепная реакция, ШЭО — Шотландский энцефаломиелит овец, ОГЛ — Омская геморрагическая лихорадка, КЛБ — Киасанурская лесная болезнь.

\*\*\*\*\*

1	AGGGGAAGCCCUCGAUGGAUGUGGGCUUGACUCAUCUACCAGGAGAACCCUGCCAAGA	1132
2	.....U.....	.....U.....A..
1	CACGUGAGUACUGCCUUCACGCAAACUAUCGGAUACCAAAGUCGCGGCCAGGUGCCAA	1192
2	.....G.....GU.....	.....A.....C.

\*\*\*\*\*

1	CAAUGGGACCUGGCCACUUUUGGCUAGAGCACCCAGAGCGGCACAGUGUGUAAGAGAGACC	1252
2	.....	.....U.....A...C.....

\*\*\*\*\*

1	AGAGUGAUCGAGGCUGGGCAACCAUUGUGGAUUAUUGGAAAGGCAGCAUUGUGACCU	1312
2	.....	.....U..U.....A.

\*\*\*\*\*

Рис. 1. Нуклеотидная последовательность фрагментов участков геномов, кодирующих белок оболочки Е для штаммов Софьян (1) и № 205 (2, показаны только различающиеся нуклеотиды); звездочками отмечена локализация праймеров P1, R1, ломаной линией — локализация праймеров P2, R2. Подчеркнуты олигонуклеотиды, ковалентно присоединяемые к лавсану

В последние годы в диагностике КЭ получили распространение методы, основанные на иммунологическом принципе взаимодействия антиген—антитело. Однако чувствительности их часто недостаточно для прямой детекции ВКЭ в исследуемом материале, поэтому требуется предварительное накопление вируса в биологической системе, что, несомненно, увеличивает длительность анализа [1].

Иммуноферментный анализ — наиболее быстрый и чувствительный, но вместе с тем и многофакторный метод. Следствием последнего является неспецифический характер взаимодействия компонентов тест-системы с клиническим материалом. Существенный недостаток в случае обнаружения антигена в клиническом материале — возможность получения ложноположительных результатов за счет перекрестных взаимодействий, а также взаимодействия детектирующих антител с ревматоидным фактором [2] или с антиидиотипическими антителами, вырабатывающимися в организме, согласно теории N. Jerne [3], в ответ на специфические антитела против возбудителя инфекции. Ситуация осложняется еще и наличием феномена «серонегативности», который характеризуется отсутствием специфических антител в периферической крови больных с клиническими признаками КЭ [4].

Установление нуклеотидной последовательности генома ВКЭ [5] стимулировало создание принципиально новых подходов для индикации ВКЭ, а именно выявление вирусного генетического материала методом дот-гибридизации с использованием  $^{32}\text{P}$ -меченого ДНК-зонда [6]. Этот метод позволяет выявлять около  $10^6$  молекул РНК ВКЭ, что соответствует 10 пг вирусной РНК. Однако он не нашел широкого применения в клинике, что связано с нестабильностью метки и радиационной опасностью при работе с ней.

Настоящее сообщение посвящено созданию высокочувствительного нерадиоактивного экспресс-метода для выявления РНК ВКЭ в биологических образцах. Метод включает в себя:

1) синтез кДНК с использованием биотинилированного праймера P1, комплементарного «плюс»-цепи РНК ВКЭ в положении 1308—1289 с 5'-конца, и ревертазы из *E. coli* или фрагмента Кленова;

2) амплификацию с помощью термостабильной ДНК-полимеразы участка кДНК, flankируемого биотинилированными праймерами P1 и R1 (структура последнего гомологична «плюс»-цепи РНК ВКЭ в положении 1199—1218 с 5'-конца);

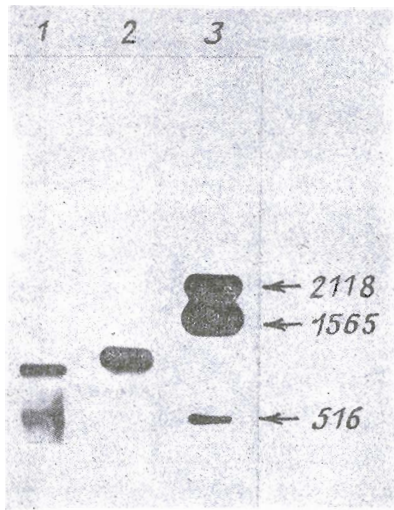


Рис. 2. Авторадиография результатов блот-гибридициации с  $^{32}\text{P}$ -меченым вирусспецифическим зондом продуктов обратной транскрипции РНК ВКЭ с праймерами P1 (дорожка 1), P2 (2), маркер (3, приведен размер в п. о.)

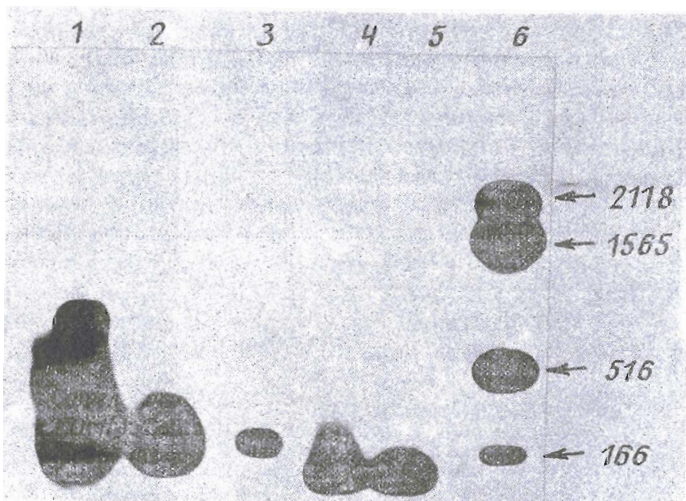


Рис. 3. Авторадиография результатов блот-гибридициации с  $^{32}\text{P}$ -меченым вирусспецифическим зондом РТВЕ 51.1 продуктов реакции ОТ-ПЦР с праймерами P2/R2 и РНК ВКЭ в количестве 1 (1),  $1 \cdot 10^{-2}$  (2),  $1 \cdot 10^{-4}$  нг (3); с праймерами P1/R1 и РНК ВКЭ в количестве 1 нг (4); с биотинилированными праймерами P1/R1 и РНК ВКЭ в количестве 1 нг (5). 6 — маркеры (приведен размер в п. о.)

3) гибридизацию двухцепочечного биотинилированного амплифицированного фрагмента кДНК ВКЭ с 20-звенными олигонуклеотидными зондами (комплémentарными «плюс»- или «минус»-цепям РНК ВКЭ в положениях 1286—1267 и 1219—1238 с 5'-концов соответственно), ковалентно присоединенными к лавсановой мембране;

4) детекцию биотоксигаза.

Разработанный метод позволяет детектировать  $10^3$ – $10^4$  молекул исходной РНК ВКЭ.

При выборе праймеров, инициирующих реакции обратной транскрипции и ПЦР, для диагностики широкого спектра штаммов ВКЭ основным требованием является их локализация в наиболее консервативных участках вирусного генома.

По данным А. Г. Плетнева и сотр. [7], высокая степень гомологии характерна для структуры белка Е оболочки, особенно внутри одной серологической подгруппы вирусов. Для представителей flavivирусов различных подгрупп она значительно меньше [7]. Сравнение первичных структур участков геномов, кодирующих белок Е, для двух штаммов ВКЭ (Софьян и № 205) также обнаруживает значительную гомологию. Исходя из этого, в данной области генома были выбраны два набора праймеров, инициирующих реакцию обратной транскрипции и ПЦР (рис. 1). Праймеры P1, R1 соответствуют районам с полной гомологией нуклеотидных последовательностей двух штаммов. Гомологию в районе локализации праймера P2 нарушает точечная замена С на У. Известно, что пара G·T — одна из самых стабильных неканонических пар [8], что позволяет надеяться на образование комплементарного матрично-затравочного комплекса, достаточно прочного для эффективного протекания реакции полимеризации.

Условия реакций полимеризации с выбранными праймерами подробно изложены в «Экспериментальной части». В качестве матрицы была использована РНК ВКЭ высокопатогенного штамма Софьян в составе суммарной РНК, выделенной из мозга инфицированных мышей (содержание РНК ВКЭ составляло 0,1%).

Эффективность и специфичность реакций полимеризации были определены путем выявления кДНК ВКЭ или ее амплифицированного фрагмента блот-гибридизацией с  $^{32}\text{P}$ -вирусспецифическим зондом после электрофоретического разделения продуктов реакций.

На рис. 2 представлена авторадиограмма результатов анализа продуктов реакции обратной транскрипции, осуществленной с помощью праймеров P1 и P2 (дорожки 1, 2) и обратной транскриптазы из *E. coli*. Аналогичные результаты наблюдались при использовании фрагмента Кленова, который, как известно, способен считывать гетерополимерную РНК [9, 10]. Применение в качестве праймера олигонуклеотида P1 приводит к накоплению единственного продукта ожидаемого размера (около 1280 нуклеотидных звеньев). Появление низкомолекулярных продуктов при использовании праймера P2 может быть обусловлено либо деградацией матрицы, либо ее структурированностью.

Успешный синтез кДНК позволил перейти к испытанию выбранных олигонуклеотидов на праймерную активность в ПЦР. На рис. 3 приведен радиоавтограф результатов блот-гибридизационного анализа продуктов, образующихся в ходе ПЦР. При использовании праймеров P1/R1 наблюдается высокоэффективный специфичный синтез ожидаемого продукта в 109 нуклеотидных звеньев при использовании как небиотинилированных (дорожка 4), так и биотинилированных праймеров (дорожка 5).

При использовании праймеров P2/R2 в образцах с высокой концентрацией РНК появляются продукты ПЦР, соответствующие по подвижности не только целевому продукту размером 167 нуклеотидных звеньев, но и фрагменту ДНК длиной 900 нуклеотидных звеньев. Анализ структуры РНК, проведенный по методу [11], показал высокую гомологию 3'-конца праймера R2 области 372–381 РНК-матрицы, которая может обуславливать появление дополнительного продукта. С уменьшением концентрации матрицы выход 900-звенного фрагмента снижается.

Таким образом, большая селективность при образовании матрично-затравочного комплекса достигается при использовании олигонуклеотидов P1/R1, поэтому дальнейшие исследования были проведены с этой парой праймеров.

Для оценки универсальности выбранных праймеров они были испытаны на

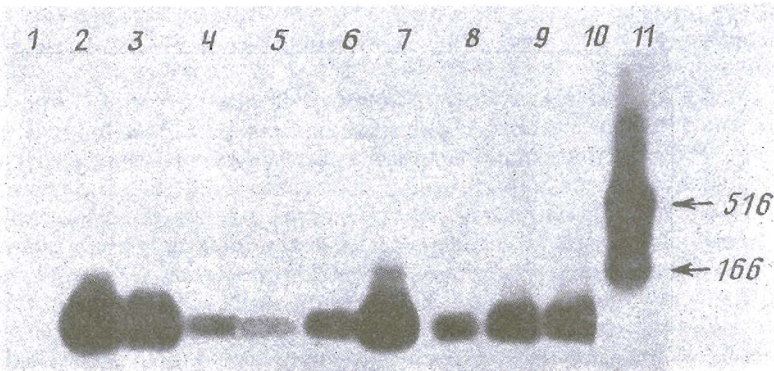


Рис. 4. Авторадиография результатов блот-гибридизации с  $^{32}\text{P}$ -меченным вирусспецифическим зондом продуктов реакции ОТ-ПЦР с праймерами P1/R1 и РНК ВКЭ в составе суммарной РНК, выделенной из мозга мышей, инфицированных различными штаммами ВКЭ: Софын (2), 205 (3), Тамари-1 (4), Приморье-2 (5), Тенис-4 (6), 4072 (7), Волхов-2 (8), Сестрорецк-2 (9), Абсеттаров (10). Контроль — 1 мкг суммарной РНК из мозга неинфицированных мышей (1). 11 — маркер (размер в п. о.)

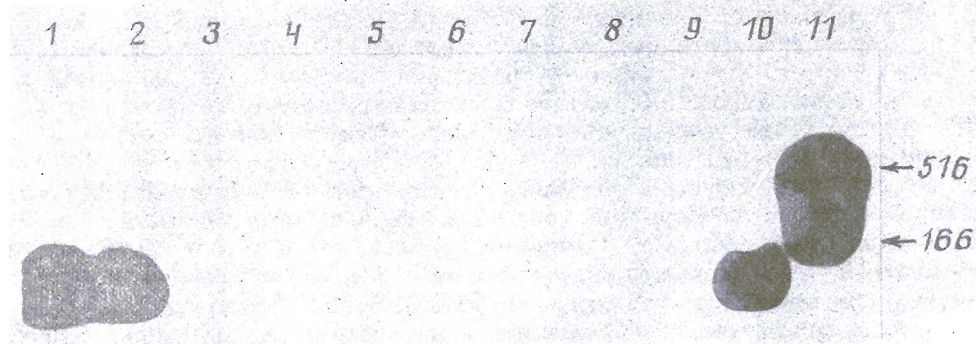


Рис. 5. Авторадиография результатов блот-гибридизации с  $^{32}\text{P}$ -меченным вирусспецифическим зондом продуктов реакции ОТ-ПЦР с праймерами P1/R1 и суммарной РНК, выделенной из мозга мышей, инфицированных различными флавивирусами: Нэгиши (1), ШЭО (2), ОГЛ (3), КЛБ (4), Лангат ТП-21 (5), Спалица (6), Японский энцефалит (7), Дэнге (8), Зап. Нил (9), Софын (10). 11 — маркер (размер в п. о.)

способность инициировать реакцию обратной транскрипции и ПЦР с РНК 28 различных штаммов ВКЭ. На рис. 4 приведена авторадиография результатов блот-гибридизации  $^{32}\text{P}$ -вирусспецифического зонда с амплифицированными фрагментами кДНК с РНК некоторых штаммов ВКЭ. Все остальные исследованные штаммы также выявляются данным тестом. В качестве отрицательного контроля была использована РНК, выделенная из мозга незараженных мышей. Полученные данные позволяют говорить о достаточной универсальности выбранных праймеров.

Критерием надежности метода наряду с универсальностью является его специфичность. Для выявления специфичности праймеров были проведены реакции обратной транскрипции и ПЦР с РНК различных флавивирусов. Продукты ПЦР были проанализированы блот-гибридизацией с  $^{32}\text{P}$ -вирусспецифическим зондом (рис. 5). Синтез продуктов ПЦР наблюдался при использовании в качестве матриц РНК эталонного штамма Софын и РНК двух вирусов, относящихся к комплексу КЭ — Нэгиши и ШЭО. Наличие продуктов ПЦР у вирусов Нэгиши и ШЭО объясняется тесным генетическим родством с вирусом КЭ, которое проявляется и при других методах тестирования [12]. У остальных испытанных

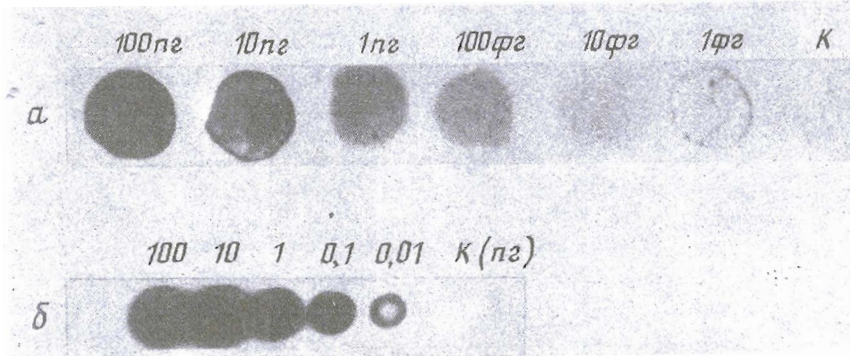


Рис. 6. Результаты анализа продуктов реакции ОТ-ПЦР с биотинилированными праймерами *P1/R1* и различными количествами РНК ВКЭ штамма Софьин обратной дот-гибридизацией на аффинной лавсановой подложке (*а*) и дот-гибридизацией на капроне (*б*). Количество вирусной РНК в образце приведено над детектируемым пятном. Каждый образец содержал равное количество суммарной РНК, выделенной из мозга неинфицированных мышей (1 мкг). Биотиновые остатки выявляли коньюгатом стрептавидин—пероксидаза, дот-гибридизацию проводили с  $^{32}\text{P}$ -меченым вирусспецифическим зондом. К — 1 мкг суммарной РНК из мозга неинфицированных мышей

вирусов комплекса КЭ и более дальних flavivирусов гибридизующиеся продукты ПЦР отсутствуют. Вследствие географической удаленности мест выделения вирусов ШЭО и Нэгиши (Шотландия и Япония соответственно) вероятность перекрестных реакций с ними мала, что обуславливает надежность метода.

Полученные результаты позволили перейти к следующему этапу исследования — выявлению амплифицированного фрагмента методом обратной дот-гибридизации.

Введение биотина в процессе ПЦР позволяет детектировать наработанный меченный продукт после его отделения от непрореагировавших праймеров. Для этого был использован предложенный R. K. Saiki и соавт. [13] обратный дот-гибридационный анализ, который предполагает гибридизацию меченого продукта ПЦР с олигонуклеотидами, ковалентно присоединенными к твердой фазе.

Для проведения массовых испытаний наиболее подходящей твердой фазой являются аффинные мембранны, позволяющие одновременно в одних и тех же условиях анализировать большое число образцов.

Ранее нами был разработан способ ковалентного присоединения олигонуклеотидов к лавсану [14]. Иммобилизованные олигонуклеотиды сохраняют способность к образованию прочных комплементарных комплексов в соотношении 1:1, и полученные аффинные мембранны характеризуются высокой сорбционной емкостью ( $1 \cdot 10^{-10}$  моль/см<sup>2</sup>).

В настоящей работе впервые аффинные лавсановые мембранны были использованы для выявления РНК ВКЭ. Для этого олигонуклеотиды, комплементарные внутренним областям амплифицированного фрагмента (рис. 1), были ковалентно присоединены к лавсановым мембранным.

Для определения предела детекции образцы, содержащие РНК ВКЭ штамма Софьин от 1 фг до 100 пг, приготовленные последовательным 10-кратным разведением 0,004% раствором суммарной РНК из мозга неинфицированных мышей, подвергали реакции обратной транскрипции и ПЦР с биотинилированными праймерами. Полученные биотинмеченные амплифицированные фрагменты гибридизовали с олигонуклеотидными зондами, иммобилизованными на лавсане. Условия проведения обратной дот-гибридизации описаны в «Экспериментальной части». Для сравнения эффективности выявления амплифицированного фрагмента олиго- и полинуклеотидными зондами параллельно был поставлен анализ дот-гибридизаций на капроновых мембранных с  $^{32}\text{P}$ -меченым вирусспецифическим зондом. Результаты (рис. 6) демонстрируют, что минимальный предел детекции

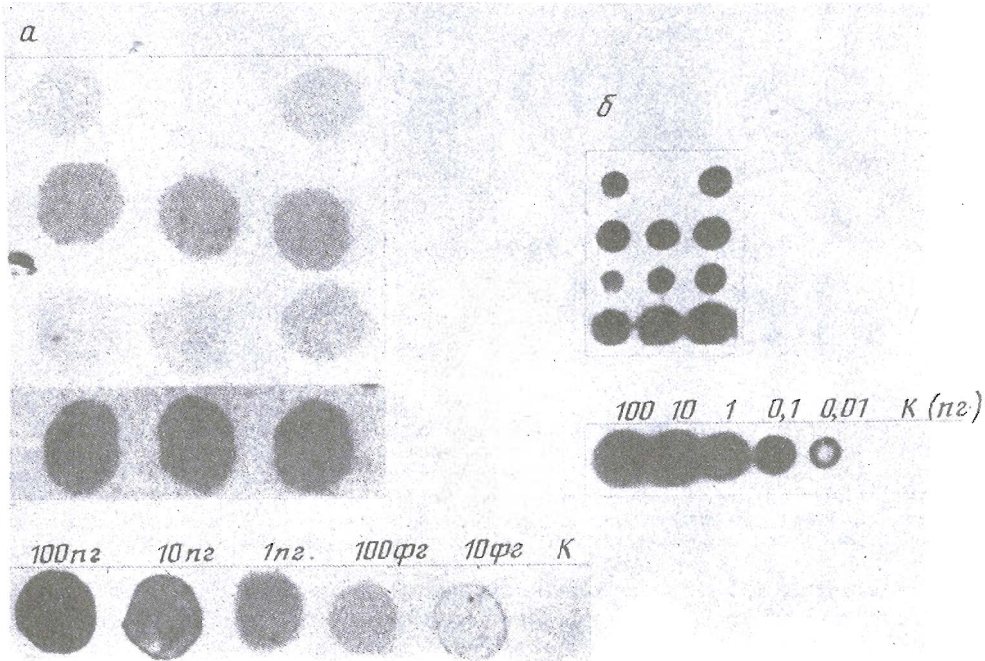


Рис. 7. Сравнительные результаты типичного анализа РНК ВКЭ в индивидуальных клещах обратной дот-гибридизацией на аффинной лавсановой мембране (*а*) и дот-гибридизацией на капроне с  $^{32}$ P-меченным вирусспецифическим зондом (*б*). Приведены результаты анализа продуктов, полученных при исследовании 12 индивидуальных клещей (вверху) и стандартных разведений РНК ВКЭ (внизу). К — 1 мкг суммарной РНК из мозга неинфицированных мышей.

РНК ВКЭ в материалах от экспериментальных животных при гибридизации биотинилированного продукта ПЦР (с 25 циклами) на аффинных лавсановых мембранных сопоставим с чувствительностью выявления продукта ПЦР с помощью  $^{32}$ P-ДНК-зонда и составляет около 0,1 пг вирусной РНК. Это свидетельствует о пригодности аффинных лавсановых мембранных для нерадиоактивной детекции биотинимечеными продуктами ПЦР и позволяет перейти к исследованию клинических образцов.

Разработанный метод был апробирован для анализа 111 образцов РНК, выделенной из клещей, снятых с людей после укуса. Параллельно полученные продукты ПЦР детектировали дот-гибридизацией на капроне с  $^{32}$ P-вирусспецифическим зондом. На рис. 7 представлены типичные результаты анализов, которые свидетельствуют о том, что иммуобилизованные олигонуклеотидные зонды и вирусспецифический зонд длиной в 2000 нуклеотидов выявляют амплифицированные фрагменты, полученные с РНК разных клещевых изолятов, с равной эффективностью. На последнюю, таким образом, в подобранных условиях проведения обратной дот-гибридизации не влияют возможные точечные замены в выбранной для амплификации области генома.

Методом обратной дот-гибридизации были также проанализированы 30 образцов РНК из крови людей с клиническим диагнозом КЭ (клинический диагноз подтвержден результатами серологического исследования в реакции торможения гемагглютинации). РНК ВКЭ была выявлена в 93% образцов. При анализе 50 препаратов суммарной РНК из крови людей, проживающих в неэндемичных по

КЭ районах (Омск), была показана высокая специфичность разработанного метода: ни в одной из проб РНК ВКЭ не была обнаружена.

Таким образом, испытания на клещах и образцах крови продемонстрировали пригодность разработанного метода для быстрой, высокочувствительной, специфичной диагностики РНК ВКЭ и возможность внедрения его в клинику.

### Экспериментальная часть

В работе использовали агарозу, бромфеноловый синий (Sigma, США), нитроцеллюлозные фильтры BA-85 (Schleicher und Schüll, ФРГ), капроновые мембранны (Zeta-probe, Bio-Rad), додецилсульфат натрия, ксиленцианол (Serva, ФРГ), трис(гидроксиметиламино)метан (Merck, ФРГ), 2-(4-гидроксифенилазо)бензойную кислоту, ДНК спермы лосося (НПО «Биолар», Олайне), Полисил-СА, сефалекс G-50 (Pharmacia, Швеция), dNTP (НИКТИ БАВ, Бердск), термостабильную ДНК-полимеразу из *Thermus aquaticus*, фрагмент Кленова («Биопол», Москва), термостабильную ДНК-полимеразу из *T. thermophilus* («Сибэнзим», Новосибирск), коньюгат стрептавидин—пероксидаза («БиоСан», Новосибирск). Ревертаза из *E. coli* получена по разработанному ранее методу [15] и охарактеризована в работе [16].

В работе использовались буферы: 0,5 М NaCl, 0,1 М трис-HCl (pH 7,5), 0,05% Tween 20 (A); 1 М NaCl, 0,05 М трис-HCl (pH 7,5), 100 мкг/мл ДНК спермы лосося (Б); 1% желатин, 0,2% казеин в буфере А (B).

Дезоксиолигонуклеотиды любезно предоставлены В. В. Горном и Т. В. Абрамовой. 5'-Фосфамиды олигонуклеотидов получали по методу, описанному ранее [15]. В качестве аминоспейсера использовали 1,2-бис(3-аминопропиламино)этан (Fluka, ФРГ).

В работе использовали эталонные штаммы вируса КЭ: Соффин, № 205, № 4072, Абсеттаров, 28 штаммов вируса КЭ, которые были выделены в Омском НИИПИ из клещей, крови больных КЭ с острыми и хроническими формами заболевания и типированы с помощью реакции торможения гемагглютинации [18]. Флавивирусы: Нэгиши, Шотландский энцефаломиелит овец (ШЭО), Омская геморрагическая лихорадка (ОГЛ), Киасанурская лесная болезнь (КЛБ), Лангат ТР-21, Спалица, Японский энцефалит, Дэнге, Западный Нил — получены из Государственной коллекции вирусов при Институте вирусологии им. Д. И. Ивановского АМН СССР (Москва).

Суммарную РНК из мозга мышей и исследуемые пробы выделяли путем фенольной депротеинизации в сочетании с экстракцией хлороформом [19]. РНК хранили в виде суспензии в 70% этаноле при  $-70^{\circ}\text{C}$ . Концентрацию РНК в растворе определяли спектрофотометрически, считая  $1\text{OE}_{260} = 40 \text{ мкг РНК}$ ; содержание вирусной РНК определяли по [6].

Аффинные мембранны для проведения гибридизационного анализа получали в результате взаимодействия аминогруппы спейсера, предварительно введенного по 5'-концевому фосфату олигонуклеотида, с хлорангидридом остатка терефталевой кислоты. Последний получен активацией концевых карбоксильных групп лавсана пентахлоридом фосфора [14]. Лавсановые мембранны с диаметром пор 0,07 мкм были охарактеризованы и любезно предоставлены Б. В. Мчедлишвили (Институт кристаллографии, Москва).

**Синтез биотинмеченых олигонуклеотидов.** 5'-Фосфамид олигонуклеотида в количестве  $3 \cdot 10^{-8}$ — $10^{-7}$  моль растворяли в 50 мкл 0,1 М боратного буфера, pH 9,2, добавляли  $1 \cdot 10^{-6}$  моль 4-сульфо-3-нитрофенилового эфира биотина. Реакцию проводили 1 ч при комнатной температуре. Продукт реакции осаждали 2% раствором  $\text{LiClO}_4$  в ацетоне и хроматографировали на колонке ( $4,6 \times 250 \text{ мм}$ ) со смолой Lichrosor® RP-18 (10 мкм), используя градиент концентрации ацетонитрила от 0 до 20% в 0,05 М  $\text{LiClO}_4$ . Продукт хранили при  $-10^{\circ}\text{C}$ . Содержание биотина в продукте оценивали с помощью комплекса стрептавидин—2-(4'-гид-

роксифенилазо)бензойная кислота [20]. Стхиометрия присоединения биотина к олигонуклеотиду 1 : 1.

**Синтез cДНК.** 1 мкг исследуемой суммарной РНК растворяли в 20 мкл 0,05 М KCl с 1 мкг соответствующего олигонуклеотидного праймера, выдерживали 3 мин при 95° С, затем 15 мин при 42° С. Добавляли 5 мкл реакционной смеси, содержащей 0,15 М трис-HCl (рН 8,1), 2,5 мМ MnCl<sub>2</sub>, 0,5 мМ раствор каждого dNTP, и 5–10 ед. акт. ревертазы из *E. coli* или фрагмента Кленова. Реакцию проводили 30 мин при 42° С. Продукты обратной транскрипции детектировали blot-гибридизацией с <sup>32</sup>P-меченным вирусспецифическим зондом, как описано в работе [21].

В качестве вирусспецифического зонда использовали рекомбинантную плазмиду pTBE-51.1, содержащую фрагмент генома ВКЭ размером 2000 пар оснований, кодирующий область структурных генов. Введение <sup>32</sup>P-метки в зонд осуществляли ник-трансляцией, используя [ $\alpha$ -<sup>32</sup>P]dUTP или [ $\alpha$ -<sup>32</sup>P]dATP до удельной активности 10<sup>8</sup>–10<sup>9</sup> имп/мин на 1 мкг ДНК [22]. В качестве маркера использовали совместный гидролизат pBR 322/PSTI и EcoRI (фрагменты длиной 2118, 1565, 516, 166 п. о.), который визуализировали радиоавтографией после гибридизации с <sup>32</sup>P-меченой плазмидой pTBE-51.1.

**Полимеразная цепная реакция.** К 25 мкл реакционной смеси после реакции обратной транскрипции добавляли 1 мкг соответствующего олигонуклеотидного праймера в 3 мкл H<sub>2</sub>O и 22 мкл раствора следующего состава: 1 мМ раствор каждого dNTP, 0,5 мМ MnCl<sub>2</sub>, 0,15 М трис-HCl (рН 8,6), 0,008 М дитиотреит, 0,08 М KCl, 0,33 мг/мл бычьего сывороточного альбумина, 0,02% Tween 20. Реакционную смесь выдерживали 3 мин при 95° С, охлаждали до 55° С, вносили термостабильную ДНК-полимеразу (2–5 ед. акт.) и осуществляли ПЦР в следующем режиме: 95° С – 0,6 мин; 55° С – 1 мин; 70° С – 2 мин, 25–30 циклов. Продукты ПЦР детектировали обратной dot-гибридизацией на аффинных лавсановых мембранных и blot-гибридизацией с <sup>32</sup>P-меченым вирусспецифическим зондом.

**Обратная dot-гибридизация.** Аффинные лавсановые мембранные предгибризовали в 1 мл буфера Б 40 мин при 53° С и переносили на смоченную буфером Б фильтровальную бумагу. Реакционную смесь после ПЦР (7 мкл) денатурировали 3 мин при 95° С в 0,2 М NaOH, нейтрализовали равным объемом 1 М трис-HCl (рН 7,5) и наносили по 2 мкл на мембрану. Гибридизацию вели 7 мин при 53° С. После промывок буфером А дважды по 5 мин и дважды по 15 мин подложку инкубировали в буфере В 40 мин при комнатной температуре и добавляли 2 мкл коньюгата стрептавидин–пероксидаза (4 мг/мл). Реакцию проводили 15 мин, несвязавшийся коньюгат отмывали буфером В трижды по 5 мин и дважды по 15 мин. Образование комплекса между биотинилированным продуктом ПЦР и коньюгатом стрептавидин–пероксидаза регистрировали по накоплению нерастворимого окрашенного продукта ферментативной реакции в 0,1 М трис-HCl-буфере, рН 7,5 (3 мл), содержащем 0,05% орто-дианизидин, 0,06% имидазол, 0,04% H<sub>2</sub>O<sub>2</sub>.

Авторы выражают благодарность акад. Д. Г. Кнорре за ценные замечания при обсуждении результатов работы, канд. биол. наук А. Г. Ромашенко за постоянный интерес к работе, д-ру хим. наук А. Г. Плетневу за предоставленные данные по сравнительному анализу нуклеотидных последовательностей двух штаммов, Н. В. Куряшовой за наработку фрагмента Кленова.

Работа проводилась в рамках программы «Геном человека, генная и клеточная инженерия».

#### СПИСОК ЛИТЕРАТУРЫ

1. Гулд Е., Клэгг Дж. Вирусология. Методы. М.: Мир, 1988. С. 66–91.
2. Глинн Л., Стьюард М. Структура и функция антител. М.: Мир, 1983.
3. Jerne N. K.//Ann. Immunol. 1974. V. 125. P. 373–389.
4. Шаповал А. Н. Клещевой энцефаломиелит. Л.: Медицина, 1980.
5. Pletnev A. G., Yamshchikov V. F., Blinov V. M.//Virology. 1990. V. 174. P. 250–263.

6. Добрикова Е. Ю., Плетнёв А. Г., Шаманин В. А.//Вопр. вирусологии. 1986. № 6. С. 739—742.
7. Плетнёв А. Г., Ямщикова В. Ф., Блинов В. Ф.//Биоорган. химия. 1989. Т. 15. № 11. С. 1504—1521.
8. Kneal G., Broun T., Kennard O.//J. Mol. Biol. 1985. V. 186. P. 805—814.
9. Houdebine L.-M.//Nucl. Acids Res. 1976. V. 3. № 3. P. 615—630.
10. Ricchetti M., Buc H.//EMBO J. 1993. V. 12. № 2. P. 387—396.
11. Jacobson A. B., Good L., Simonetti J., Zuker M.//Nucl. Acids Res. 1984. V. 12. № 1. P. 45—52.
12. Shamanin V. A., Pletnev A. G., Rubin S. G., Zlobin V. I.//J. Gen. Virol. 1990. V. 71. P. 1505—1515.
13. Saiki R. K., Walsh P. S.//Proc. Nat. Acad. Sci. USA. 1989. V. 86. № 16. P. 6230—6234.
14. Годовикова Т. С., Орлова Т. Н., Щеголь Н. Ю., Куликова В. Ф., Венер Т. И., Сабуров В. В., Мчедлишвили Б. В., Зубов В. П. Способ иммобилизации фрагментов нуклеиновых кислот на полимерной подложке. Пат. № 1808014//Б. И. 1993. № 13. С. 227.
15. Воробьева Н. В., Небрат Л. Т., Петрусова И. О., Ромашенко А. Г., Стариковская А. Ф., Шаманина М. Ю. Способ получения обратной транскриптазы из *E. coli*: А. с. 1638162 СССР//Б. И. 1991. № 12. С. 74.
16. Воробьева Н. В., Небрат Л. Т., Потапов В. А., Ромашенко А. Г., Салганик Р. И., Юшкова Л. Ф.//Молекуляр. биология. 1982. Т. 16. № 5. С. 977—983.
17. Годовикова Т. С., Зарытова В. Ф., Халимская Л. М.//Биоорган. химия. 1986. Т. 12. № 14. С. 475—481.
18. Clarke D., Casals J.//Amer. J. Trop. Med. 1958. V. 7. P. 561—573.
19. Шерер К.//Методы вирусологии и молекулярной биологии. М.: Мир, 1972. С. 337—354.
20. Green N. M.//Meth. Enzymol. 1970. V. XVIII A. P. 418—424.
21. Маниатис Т., Фрич Э., Сэмбрук Дж. Молекулярное клонирование. М.: Мир, 1984.
22. Rigby P. W. J., Dieckmann M., Rhodes C., Berg P.//J. Mol. Biol. 1977. V. 113. № 1. P. 237—251.

Поступила в редакцию  
25.XI.1993

После доработки  
17.II.1994

*T. S. Godovikova, T. N. Orlova, E. Yu. Dobrikoiva, V. A. Shamanin,  
V. F. Zarytova, N. V. Vorobyeva \*, N. A. Serdyukova \*,  
M. Yu. Shamanina \*, I. O. Petrusova \*, N. D. Pitsenko \*\**

### HIGHLY SENSITIVE NON-RADIOACTIVE DETECTION OF TICK-BORNE ENCEPHALITIS VIRUS

*Institute of Bioorganic Chemistry, Siberian Division,  
Russian Academy of Sciences, Novosibirsk;*

*\* Institute of Cytology and Genetics, Siberian Division, Russian Academy  
of Sciences, Novosibirsk;*

*\*\* Omsk Institute of Natural-Foci Infections, Ministry of Health of the Russia*

The non-radioactive reverse dot-blot method was used for the detection of tick-borne encephalitis virus (TBEV) in clinical specimens. The method involves reverse transcription (RT) and polymerase chain reaction (PCR) using a pair of biotin-labelled oligonucleotide primers. These primers flank a region in the gene of the envelope protein E, which is more conserved than other regions, and initiate the polymerisation with RNAs of all the investigated strains. The amplified cDNA was captured from solution on a solid support using complementary oligonucleotides covalently bound to a polyamide membrane. The biotin labels of the resulting hybrids were visualized by means of the streptavidin-horseradish peroxidase conjugate. The detection limit of the test was about  $10^3$ — $10^4$  molecules of target RNA. The sensitivity was comparable to that obtained by dot-hybridization of PCR-product with  $^{32}\text{P}$ -labelled DNA probe. The method was used for the detection of RNA in specimens of tick and blood.